

## 不搅乱砂質土の動的強度に及ぼす圧密応力の影響

建設省土木研究所 ○正員 常田慶一  
東大生産技術研究所 正員 龍園文夫  
建設省土木研究所 学生員 吉田精一  
应用地盤調査事務所 正員 今野政志

## 1. まえがき

地盤調査を実施し採取した不搅乱試料を用いて動的試験を行なう場合、実験条件として与える圧密応力をどのように設定するか問題となるが、通常は試料採取位置ごとの有効上載圧力を判断の際とて決めている。しかし試料採取位置ごとの有効上載圧力を厳密に算定するには困難であり、与える圧密応力が必ずしも採取位置ごとの拘束状態を再現しているとは言い難い。本報告は、以上の現状を踏まえ、動的試験で与える圧密応力が対象とする不搅乱砂質土の動的強度に与える影響を動的三軸試験により検討したものである。

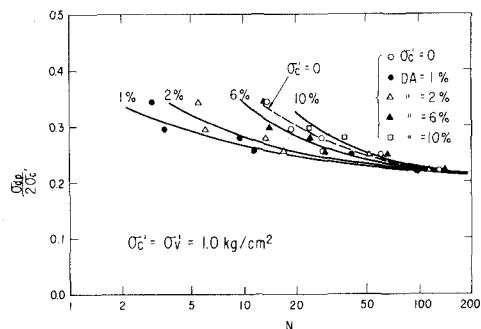
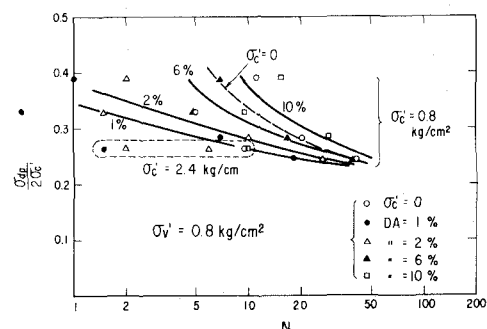
## 2. 実験概要

実験対象とした不搅乱砂質土は羽田地区で採取されたものであり、凍結保存状態から  $\Delta = 5\text{ cm}$ ,  $R = 10\text{ cm}$  の供試体を整形作成している。用いた供試体の採取位置ごとの有効上載圧 ( $\sigma'_v$ ) よび物理特性は参考文献2)の表-1に示す通りであり、有効上載圧からは  $\sigma'_v = 0.5, 0.8, 1.0, 1.2 (\text{kN/cm}^2)$  の4グループに分類される。各供試体は、セット後炭酸ガス供給、脱水を行なった後一率に3.0(%)のバックプレッシャーをかけ飽和化を図っている。そして、有効上載圧に対して各種の比率で圧密圧力 ( $\sigma'_c$ ) を想定し圧密を行なた後、所定の応力比 ( $\sigma'_d/\sigma'_c$ ) を動的作用力として加振を行なう。加振中は、輪方向変位、軸力、間隙水压の変化を電磁シロペーパー上に記録する。供試体毎に与えた応力条件の一覧を文献2)の表-1に示す。

表-1にも示したように、初期の設定応力比で破壊が生じない場合は応力比を上げて所定のせん断歪が得られるよう再加振をしている。

## 3. 実験結果および考察

得られたデータから、各有効上載圧毎に応力比 ( $\sigma'_d/\sigma'_c$ ) と繰り返し回数 ( $N$ ) の関係をせん断歪振幅をパラメータとして描いたのが図-1～4である。図-1は  $\sigma'_c = \sigma'_v = 1.0 (\text{kN/cm}^2)$  つまり、 $\sigma'_c/\sigma'_v = 1$  の場合である。図-2は  $\sigma'_c = \sigma'_v = 0.8 (\text{kN/cm}^2)$  の場合であるが、内1つの供試体は  $\sigma'_v = 3$  の場合、結果がある。また、図-3, 4は各々  $\sigma'_v = 0.5, 1.2 (\text{kN/cm}^2)$  の場合である。  $\sigma'_c$  としては  $\sigma'_v$ を中心として変化させている。各データ共、着目したせん断歪振幅 (DA) は、1%, 2%, 6%, 10% であり、読み取り可能な範囲ごとの値が得られてい。図-1, 2を見ても明らかなように、応力比が増加するに伴い同一歪レベルに対する繰り返し回数が減少する傾向を示す。これらの傾向を踏まえ各データの兼ね合いを考慮した上で、せん断歪レベル毎に  $(\sigma'_d/\sigma'_c)$  と  $N$  の関係付けを試みたのが図中の実線である。なお、各図中には  $\sigma'_c = 0$  の点が併記されているが、この点はオシロ記録紙上の間隙水压

図-1  $\sigma_d/\sigma_c \sim DA \sim N$  ( $\sigma_c' = \sigma_v' = 1.0 \text{ kN/cm}^2$ )図-2  $\sigma_d/\sigma_c \sim DA \sim N$  ( $\sigma_c' = \sigma_v' = 0.8 \text{ kN/cm}^2$ )

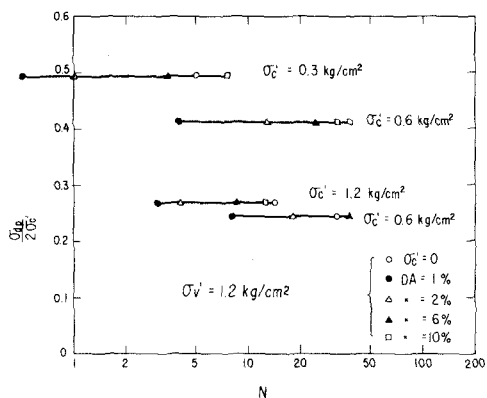
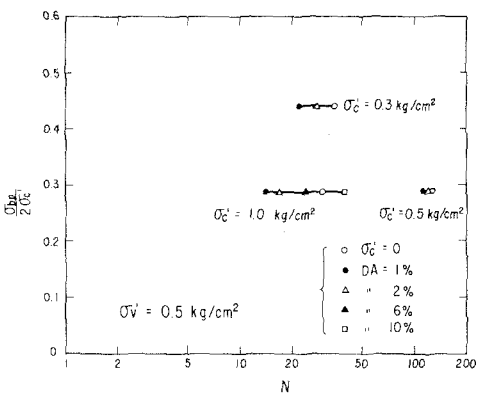


図-3  $\sigma'_v / \sigma_v$  ~ DA ~ N ( $\sigma'_c = 0.5 \text{ kg/cm}^2$ ,  $\sigma'_c$ を変化) の記録波形から目視により間隙水圧と圧密応力に等しくなったと判断した状態の最初の位置を示している。

図-5は $\sigma'_c = \sigma'_v$ つまり、図-1,2の $\sigma'_c = 0.8, 1.0 (\text{kg/cm}^2)$ の場合について、せん断歪振幅が2%, 6% び $N = 20$ での応力比を基準として、各 $N$ における応力比を $N$ に等しく乗換付けた結果である。同図を用いると、任意の応力比で或る歪レベルに対して繰り返し回数が得られる。また、 $N = 20$ での応力比が推定可能となる。従って、同一有効上載圧を持つ供試体に対して圧密応力を変化させた実験結果(図-2の一部、図-3,4)から、図-5の関係を使つて任意の歪幅に対する $N = 20$ での応力比が得られる。このようにして得られた結果から、 $\sigma'_c / \sigma'_v = 1$ の場合の $N = 20$ での応力比を基準として、各歪幅に対する応力比がどのような変動を示すかを図示したのが図-6である。データ数が少なくて断続は避けられないが、 $\sigma'_c / \sigma'_v$ に対する応力比の変化の傾向が読み取れる。つまり、歪幅が大きくなるほど、 $N = 20$ での応力比(ここでは動的強度と呼ぶ)が低下する。例えば、 $\sigma'_c / \sigma'_v = 0.5$ つまり、圧密応力を有効上載圧の1/2とすると、動的強度は約20%増加をし、逆に、歪幅=2,つまり、圧密応力を有効上載圧の2倍とした場合は、動的強度がほぼ20%程度減少することがわかる。

以上の結果からも明らかのように、現場より採取した不搅乱試料(本報告では砂質土について)に対して動的強度試験を行なう場合、実験条件としての圧密応力の設定が動的強度に大きな影響を持つことがわかった。

図-4  $\sigma'_v / \sigma_v$  ~ DA ~ N ( $\sigma'_c = 1.2 \text{ kg/cm}^2$ ,  $\sigma'_c$ を変化)

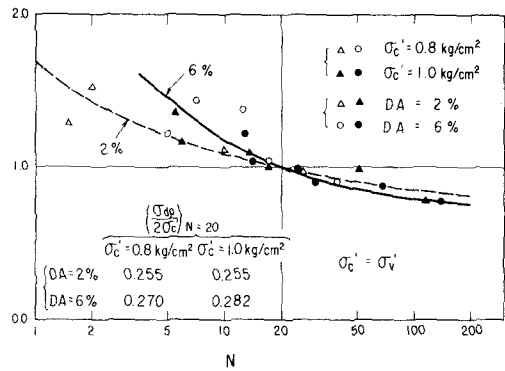


図-5 動的強度( $N=20$ )における応力比の割合の分布図

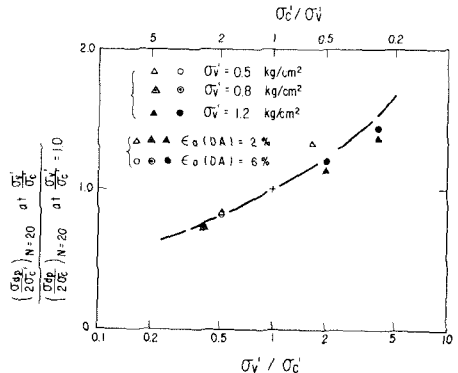


図-6  $\sigma'_v / \sigma_v = 1$ の動的強度に対する任意の $\sigma'_c / \sigma'_v$ ごとの動的強度の割合  $\sim \sigma'_c / \sigma'_v$ ,  $\sigma'_c / \sigma'_v$

## 参考文献

- 今野, 龍周“液状化過程における砂の剛性の変化” 土32回土学年次研究発表会 III-133 1977. 0
- 吉田, 龍周・不擾乱砂質土の液状化過程の剛性” 土34回土学年次研究発表会 III-19 1978. 1  
常田, 多野